

УДК (539.3 + 532.5):629.12

## ИЗГИБНО-ГРАВИТАЦИОННЫЕ ОКРУЖНЫЕ И РАДИАЛЬНЫЕ КОЛЕБАНИЯ ПЛАСТИНЫ, ПЛАВАЮЩЕЙ НА МЕЛКОЙ ВОДЕ

В. О. Шемелина

Институт гидродинамики им. М. А. Лаврентьева СО РАН, 630090 Новосибирск, Россия  
E-mail: v.kulakova@outlook.com

В рамках теории длинных волн на мелкой воде проведены численно-аналитические исследования собственных и квазисобственных изгибно-гравитационных колебаний упругой плавающей на поверхности жидкости пластины. Для случаев ограниченного и неограниченного бассейнов исследованы зависимости собственных и квазисобственных частот от геометрических параметров области колебаний. Изучено влияние неровностей дна в форме кругового цилиндра или кругового усеченного конуса на собственные и квазисобственные частоты и функции.

**Ключевые слова:** изгибно-гравитационные колебания, собственные колебания, гидроупругость, мелкая вода, круглая пластина.

DOI: 10.15372/PMTF20160319

**Введение.** Актуальность данной задачи обусловлена тем, что изгибно-гравитационные волновые процессы имеют место в ледовых покровах, а также учитываются при проектировании плавучих сооружений. Задачу о колебаниях упругой пластины, плавающей на поверхности жидкости, можно рассматривать в качестве модели гигантской плавучей физической системы, например морской платформы различного назначения.

В настоящее время имеется большое количество исследований волновых процессов в упругих пластинах, однако квазисобственные колебания системы жидкость — пластина изучены недостаточно. Впервые деформации изгибно-гравитационных волн в упругих пластинах, плавающих на поверхности жидкости, рассмотрены в [1, 2]. Изучению колебаний жидкости в бассейне при наличии плавающей пластины посвящены работы [3–8]. В работе [9] задачи рассеяния решались с помощью частот рассеяния, которые в русскоязычной литературе называются квазисобственными частотами или полюсами резольвенты.

**Формулировка задачи.** Рассматривается упругая круглая пластина радиусом  $r_0$ , плавающая на поверхности жидкости в ограниченном бассейне радиусом  $r_2$  и неограниченном бассейне глубиной  $H$ . Примем следующие предположения: граница пластины свободна от перерезывающих сил и изгибающего момента, жидкость является однородной, несжимаемой и невязкой, между пластиной и поверхностью контакта пространство отсутствует. В модели учитываются осадка и неровности дна бассейна.

Рассматриваются неоднородности дна бассейна следующих двух типов:

1) в форме кругового цилиндра под плавающей пластиной радиусом  $l$ , высотой  $d$  (рис. 1,а);

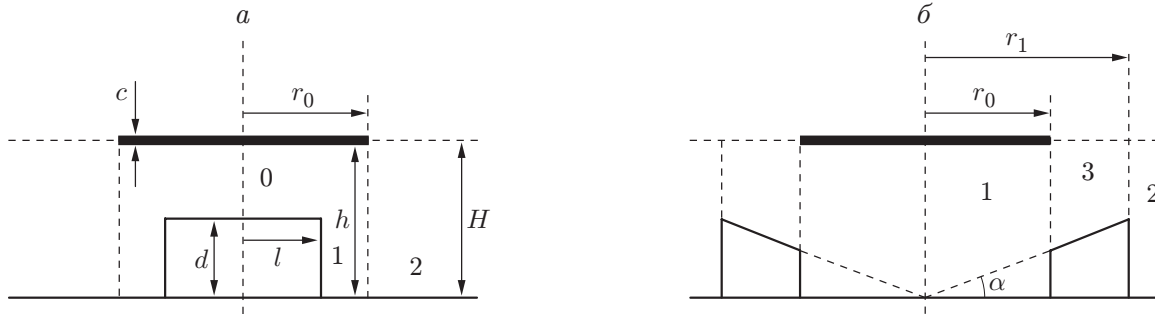


Рис. 1. Схема неоднородностей дна бассейна:

*a* — в форме кругового цилиндра, *б* — в форме кругового усеченного конуса; 0–3 — области жидкости (0 —  $r < l$ , 1 —  $l < r < r_0$ , 2 —  $r_0 < r$  — в случае неоднородности первого типа, 1 —  $r < r_0$ , 2 —  $r_1 < r$ , 3 —  $r_0 < r < r_1$  — в случае неоднородности второго типа)

2) в форме кругового усеченного конуса вне пластины, при этом угол между образующей конуса и дном равен  $\alpha$  (рис. 1,б).

В случае неоднородности в форме цилиндра область жидкости делится на следующие области: 0 —  $r < l$ , 1 —  $l < r < r_0$ , 2 —  $r_0 < r$ ; в случае неоднородности в форме усеченного конуса — на области: 1 —  $r < r_0$ , 2 —  $r_1 < r$ , 3 —  $r_0 < r < r_1$ . Величины, относящиеся к указанным областям, имеют индексы, соответствующие номеру области:  $h_0 = h - d$ ,  $h_1 = h$ ,  $h_2 = H$ ,  $h_3 = H - r \operatorname{tg} \alpha$ .

Система координат полагается полярной. Уравнение, связывающее вертикальное смещение волны  $W_j$  и потенциал скорости  $\Phi_j$ , имеет вид

$$\frac{\partial}{\partial t} W_j + h_j \Delta \Phi_j = 0, \quad j = 0, 1, 2; \tag{1}$$

$$\frac{\partial}{\partial t} W_j + \frac{\partial}{\partial r} h_j \frac{\partial}{\partial r} \Phi_j + h_j \Delta \Phi_j = 0, \quad j = 3. \tag{2}$$

Используя закон сохранения импульса, получаем уравнение для давления жидкости  $P_j$  в области пластины

$$P_j = -\rho g W_j - \rho \frac{\partial}{\partial t} \Phi_j, \quad j = 0, 1, \tag{3}$$

где  $g$  — ускорение свободного падения;  $\rho$  — плотность жидкости.

Поскольку в области открытой воды на свободной поверхности ( $z = 0$ ) давление жидкости равно нулю, имеем

$$W_j = -\frac{1}{g} \frac{\partial}{\partial t} \Phi_j, \quad j = 2, 3. \tag{4}$$

Статический прогиб пластины описывается уравнением  $D\Delta^2 W = P$ . Для перехода к динамическому уравнению пластины в дополнение к внешним нагрузкам введем силы инерции  $\rho h_j \partial^2 W_j / \partial t^2$ . Тогда динамическое условие под пластиной принимает вид [10]

$$D\Delta^2 W_j + M \frac{\partial^2}{\partial t^2} W_j = P_j, \quad j = 0, 1, \tag{5}$$

где  $D = Ec^3/[12(1 - \nu^2)]$  — изгибающая жесткость пластины;  $E$  — модуль Юнга;  $\nu$  — коэффициент Пуассона;  $c$  — толщина пластины;  $M$  — масса пластины на единицу поверхности.

В уравнении (5) учитывается только инерция поступательного движения и пренебрегается инерцией вращательного, поэтому уравнение (5) и его следствия справедливы в рамках модели теории длинных волн на мелкой воде.

Дифференцируя (5) по  $t$  и используя (1), (3), получаем линейризованное основное уравнение в областях 0, 1:

$$D\Delta^3\Phi_j + M\frac{\partial^2}{\partial t^2}\Delta\Phi_j + \rho g\Delta\Phi_j - \frac{\rho}{h_j}\frac{\partial^2}{\partial t^2}\Phi_j = 0, \quad j = 0, 1. \quad (6)$$

Используя уравнения (1), (4), получаем основное уравнение для области чистой воды

$$\frac{\partial^2}{\partial t^2}\Phi_2 = gH\Delta\Phi_2,$$

используя уравнения (2), (4) — основное уравнение для области с неоднородным дном

$$\frac{\partial^2}{\partial t^2}\Phi_3 = g\frac{\partial}{\partial r}h_3\frac{\partial}{\partial r}\Phi_3 + gh_3\Delta\Phi_3.$$

С учетом равенства нулю перерезывающей силы  $V$  и изгибающего момента  $M_r$  запишем граничные условия для пластины на контуре ( $r = r_0$ ). Выражение для изгибающего момента и перерезывающей силы в полярных координатах имеет вид [10]

$$M_r = -D\left[\frac{\partial^2 W_1}{\partial r^2} + \nu\left(\frac{1}{r}\frac{\partial W_1}{\partial r} + \frac{1}{r^2}\frac{\partial^2 W_1}{\partial \theta^2}\right)\right],$$

$$V = -D\frac{\partial}{\partial r}(\Delta W_1) - \frac{\partial}{\partial \theta}\left[D(1-\nu)\left(\frac{1}{r}\frac{\partial^2 W_1}{\partial r \partial \theta} - \frac{1}{r^2}\frac{\partial W_1}{\partial \theta}\right)\right].$$

Используя выражения для изгибающего момента и перерезывающей силы, граничные условия на контуре пластины представим в виде

$$L_1(W_1) = \left[\Delta - \frac{1-\nu}{r}\left(\frac{\partial}{\partial r} + \frac{1}{r}\frac{\partial^2}{\partial \theta^2}\right)\right]W_1 = 0, \quad r = r_0,$$

$$L_2(W_1) = \left[\frac{\partial}{\partial r}\Delta + \frac{1-\nu}{r^2}\left(\frac{\partial}{\partial r} - \frac{1}{r}\right)\frac{\partial^2}{\partial \theta^2}\right]W_1 = 0, \quad r = r_0. \quad (7)$$

Продифференцировав по времени соотношения (7), с использованием (1) для потенциала скорости получаем условия

$$L_1(\Delta\Phi_1) = 0, \quad r = r_0, \quad L_2(\Delta\Phi_1) = 0, \quad r = r_0.$$

В предположении, что колебания являются установившимися для всех областей  $\Phi_j(r, \theta, t) = \varphi_j(r, \theta)e^{-i\omega t}$  ( $\omega$  — собственная частота), получаем не зависящие от времени соотношения для  $\varphi_j$ ,  $j = 0, 1, 2, 3$ .

В случае установившихся колебаний основное уравнение (6) в области пластины принимает вид

$$\left[D\Delta^3 + \rho g\left(1 - \frac{\omega^2 M}{\rho g}\right)\Delta + \rho g K_j^2\right]\varphi_j = 0, \quad j = 0, 1, \quad (8)$$

где  $K_j^2 = \omega^2/(gh_j)$ ,  $j = 0, 1, 2, 3$ .

В области с наклонным неоднородным дном для потенциала имеем

$$\Delta\varphi_3 + K_3^2\varphi_3 + \frac{\partial}{\partial r}\ln(h_3)\frac{\partial}{\partial r}\varphi_3 = 0. \quad (9)$$

В области открытой воды потенциал удовлетворяет уравнению Гельмгольца

$$\Delta\varphi_2 + K_2^2\varphi_2 = 0, \quad (10)$$

для которого в случае бассейна с бесконечным радиусом выполняется условие излучения

$$\lim_{r \rightarrow \infty} r^{1/2} \left( \frac{\partial \varphi_2}{\partial r} - iK_2 \varphi_2 \right) = 0. \quad (11)$$

Области 0 и 1 имеют общую границу  $r = l$ , области 1 и 2, 1 и 3 — общую границу  $r = r_0$ , области 2 и 3 — общую границу  $r = r_1$ . Используя условия сохранения давления и массы на границах областей, условия сопряжения представим в следующем виде [11]:

— для неоднородностей первого типа

$$\begin{aligned} \varphi_0|_{r=l-0} &= \varphi_1|_{r=l+0}, & (h-d) \frac{\partial}{\partial r} \varphi_0|_{r=l-0} &= h \frac{\partial}{\partial r} \varphi_1|_{r=l+0}, \\ \frac{\partial^2 \varphi_0}{\partial r^2} \Big|_{r=l-0} &= \frac{\partial^2 \varphi_1}{\partial r^2} \Big|_{r=l+0}, & \frac{\partial^3 \varphi_0}{\partial r^3} \Big|_{r=l-0} &= \frac{\partial^3 \varphi_1}{\partial r^3} \Big|_{r=l+0}, \\ \frac{\partial^4 \varphi_0}{\partial r^4} \Big|_{r=l-0} &= \frac{\partial^4 \varphi_1}{\partial r^4} \Big|_{r=l+0}, & \frac{\partial^5 \varphi_0}{\partial r^5} \Big|_{r=l-0} &= \frac{\partial^5 \varphi_1}{\partial r^5} \Big|_{r=l+0}, \\ \varphi_1|_{r=r_0-0} &= \varphi_2|_{r=r_0+0}, & h \frac{\partial \varphi_1}{\partial r} \Big|_{r=r_0-0} &= H \frac{\partial \varphi_2}{\partial r} \Big|_{r=r_0+0}; \end{aligned} \quad (12)$$

— для неоднородностей второго типа

$$\begin{aligned} \varphi_1|_{r=r_0-0} &= \varphi_3|_{r=r_0+0}, & h \frac{\partial \varphi_1}{\partial r} \Big|_{r=r_0-0} &= (H - r \operatorname{tg} \alpha) \frac{\partial \varphi_3}{\partial r} \Big|_{r=r_0+0}, \\ \varphi_3|_{r=r_1-0} &= \varphi_2|_{r=r_1+0}, & (H - r \operatorname{tg} \alpha) \frac{\partial \varphi_3}{\partial r} \Big|_{r=r_0-0} &= H \frac{\partial \varphi_2}{\partial r} \Big|_{r=r_0+0}. \end{aligned} \quad (13)$$

Граничные условия для потенциала скорости имеют вид

$$L_1(\Delta \varphi_1) = 0, \quad r = r_0, \quad L_2(\Delta \varphi_1) = 0, \quad r = r_0. \quad (14)$$

Уравнения (8), (10) и условия (11), (14) выполняются для неоднородностей обоих типов, также в случае неоднородности первого типа выполняются условия (12), в случае неоднородности второго типа — уравнения (9), (13).

**Аналитические исследования.** Уравнение пластины (8) в областях 0, 1 представим следующим образом [12]:

$$\prod_{m=1}^3 (\Delta - z_{jm}) \varphi_j = 0, \quad j = 0, 1.$$

Здесь  $z_{jm}$  — корни уравнения

$$Dz^3 + \rho g \left( 1 - \frac{\omega^2 M}{\rho g} \right) z + \rho g K_j^2 = 0. \quad (15)$$

Учитывая неравенства  $\rho g (1 - \omega^2 M / (\rho g)) > 0$ ,  $\rho g K_j^2 > 0$ , получаем, что один корень уравнения (15) является вещественным и отрицательным, другие два — комплексно-сопряженными с положительными вещественными частями.

Потенциал скорости  $\varphi_j$ ,  $j = 0, 1$  можно записать в виде

$$\varphi_j = \sum_{m=1}^3 \varphi_{j,m}, \quad j = 0, 1,$$

где  $\varphi_{j,m}$  удовлетворяет уравнению  $(\Delta - z_{jm}) \varphi_{j,m} = 0$ ,  $j = 0, 1$ .

Представим решение в виде ряда Фурье

$$\varphi_{j,m}(r, \theta) = \sum_{n=0}^{\infty} \varphi_{j,m}^{(n)} e^{in\theta}, \quad j = 0, 1, \quad (16)$$

где  $\varphi_{j,m}^{(n)}(r)$  — неизвестные коэффициенты.

Подставляя представление (16) в уравнение  $(\Delta - z_{jm})\varphi_{j,m} = 0$ ,  $j = 0, 1$ , получаем уравнение Бесселя

$$\xi^2 \frac{d^2 \varphi_{j,m}^{(n)}}{d\xi^2} + \xi \frac{d\varphi_{j,m}^{(n)}}{d\xi} - (n^2 + \xi^2)\varphi_{j,m}^{(n)}, \quad j = 0, 1 \quad (17)$$

( $\xi = r\tau_{jm}$ ;  $\tau_{jm} = \sqrt{z_{jm}}$ ).

Комплексный квадратный корень выбираем таким образом, чтобы он удовлетворял условию  $\text{Re } z_{jm} > 0$ . Решение уравнения (17) представляет собой модифицированные функции Бесселя

$$\varphi_{j,m}^{(n)} = C_{jm}^{(n)} I_n(\tau_{jm}r) + B_{jm}^{(n)} K_n(\tau_{jm}r), \quad j = 0, 1.$$

Поскольку функция  $K_n(\tau_{jm}r)$  не ограничена в центре пластины ( $r = 0$ ) и не имеет физического смысла, в случае неоднородности дна первого типа решение принимает вид  $\varphi_{0,m}^{(n)} = C_{0m}^{(n)} I_n(\tau_{0m}r)$ , в случае неоднородности дна второго типа —  $\varphi_{1,m}^{(n)} = C_{1m}^{(n)} I_n(\tau_{1m}r)$ .

В случае неоднородности первого типа потенциал записывается в виде

$$\begin{aligned} \varphi_0 &= \sum_{n=0}^{\infty} e^{in\theta} \sum_{m=1}^3 C_{0m}^{(n)} I_n(\tau_{0m}r), \\ \varphi_1 &= \sum_{n=0}^{\infty} e^{in\theta} \sum_{m=1}^3 [C_{1m}^{(n)} I_n(\tau_{1m}r) + B_{1m}^{(n)} K_n(\tau_{1m}r)], \end{aligned} \quad (18)$$

в случае неоднородности второго типа — в виде

$$\varphi_1 = \sum_{n=0}^{\infty} e^{in\theta} \sum_{m=1}^3 C_{1m}^{(n)} I_n(\tau_{1m}r). \quad (19)$$

(Вместо функций  $e^{in\theta}$  можно рассматривать функции  $\cos(n\theta)$ , так как в уравнение Бесселя входит параметр  $n^2$ . Следовательно, достаточно рассмотреть значения  $n \geq 0$ .) Решение уравнения (9) для потенциала  $\varphi_3$  имеет вид

$$\begin{aligned} \varphi_3 &= \sum_{n=0}^{\infty} C_6^{(n)} J_{\sqrt{(2n)^2+1}} \left( 2\omega \sqrt{\frac{1}{g \operatorname{tg} \alpha}} \sqrt{r} \right) e^{in\theta} + \\ &+ \sum_{n=0}^{\infty} C_7^{(n)} Y_{\sqrt{(2n)^2+1}} \left( 2\omega \sqrt{\frac{1}{g \operatorname{tg} \alpha}} \sqrt{r} \right) e^{in\theta}. \end{aligned} \quad (20)$$

Решение уравнения Гельмгольца (10) для потенциала  $\varphi_2$  имеет вид

$$\varphi_2 = \sum_{n=0}^{\infty} [C_4^{(n)} J_n(K_2r) + C_5^{(n)} Y_n(K_2r)] e^{in\theta}.$$

В случае бассейна неограниченного радиуса, т. е. при выполнении условия излучения, решение для области открытой воды принимает вид

$$\varphi_2 = \sum_{n=0}^{\infty} C_4^{(n)} H_n^{(1)}(K_2r) e^{in\theta}, \quad (21)$$

где  $H_n^{(1)}(K_2r)$  — функция Ганкеля первого рода.



Таблица 2

Значения собственных частот  $\omega$  при радиусе пластины  $r_0/H = 5$ , радиусе бассейна  $r_2/H = 10$  и различной толщине пластины  $c/H$  для мод с индексами  $s = 1, n = 0$  и  $s = 1, n = 1$

$c/H$	$\omega, c^{-1}$	
	$s = 1, n = 0$	$s = 1, n = 1$
0,10	1,1458	0,5641
0,09	1,1472	0,5650
0,08	1,1489	0,5658
0,07	1,1523	0,5671
0,06	1,1611	0,5683
0,05	1,1695	0,5689
0,04	1,1739	0,5698
0,03	1,1811	0,5712
0,02	1,1898	0,5738
0,01	1,1935	0,5751

Таблица 3

Значения собственных частот  $\omega$  при радиусе пластины  $r_0/H = 5$ , радиусе ограниченного бассейна  $r_2/H = 10$  и различных геометрических размерах неоднородности дна первого типа для моды  $s = 1, n = 0$

$d$	$\omega, c^{-1}$		
	$l = r_0/2$	$l = 2r_0/3$	$l = r_0$
$h/2$	0,9537	0,7258	0,6532
0	1,1458	1,1458	1,1458
$-h/2$	2,4237	2,3181	2,2638

В табл. 2 приведены значения собственных частот при радиусе пластины  $r_0/H = 5$ , радиусе бассейна  $r_2/H = 10$  и различной толщине пластины  $c/H$  для мод с индексами  $s = 1, n = 0$  и  $s = 1, n = 1$ .

Из табл. 2 следует, что при уменьшении жесткости пластины собственные частоты колебания системы пластина — жидкость стремятся к собственным частотам плескания.

**Зависимость собственных и квазисобственных частот от геометрических размеров неоднородности дна.** В табл. 3 приведены значения собственных частот при различных геометрических размерах неоднородности дна первого типа.

Заметим, что при увеличении высоты и радиуса неоднородности собственные частоты уменьшаются.

**Формы колебаний.** При модах низкой частоты амплитуды изгибно-гравитационных колебаний больше, чем при модах более высокой частоты [15], поэтому рассмотрим влияние на изгибно-гравитационные колебания первых мод.

На рис. 2 показаны формы деформированной поверхности пластины для бассейна бесконечного радиуса при различных значениях квазисобственной частоты для мод с индексами  $s = 1, n = 0$ ;  $s = 2, n = 0$ ;  $s = 3, n = 0$ . Видно, что при увеличении номера моды увеличивается количество точек перегиба.

На рис. 3 приведено распределение изгибающего момента по радиусу пластины для мод с различными индексами. Видно, что при увеличении номера решения (гармоники) увеличивается количество точек перегиба.

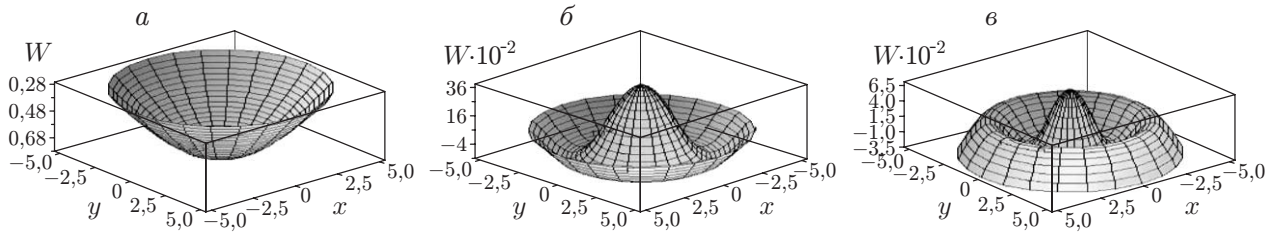


Рис. 2. Формы изгибно-гравитационных колебаний пластины радиусом  $r_0/H = 5$  для бассейна бесконечного радиуса при различных значениях квазисобственной частоты и модах с различными индексами:

$a$  —  $\omega = 2,6316 - 0,4503i$ ,  $s = 1$ ,  $n = 0$ ;  $б$  —  $\omega = 4,2651 - 0,3223i$ ,  $s = 2$ ,  $n = 0$ ;  $в$  —  $\omega = 6,1918 - 0,1824i$ ,  $s = 3$ ,  $n = 0$

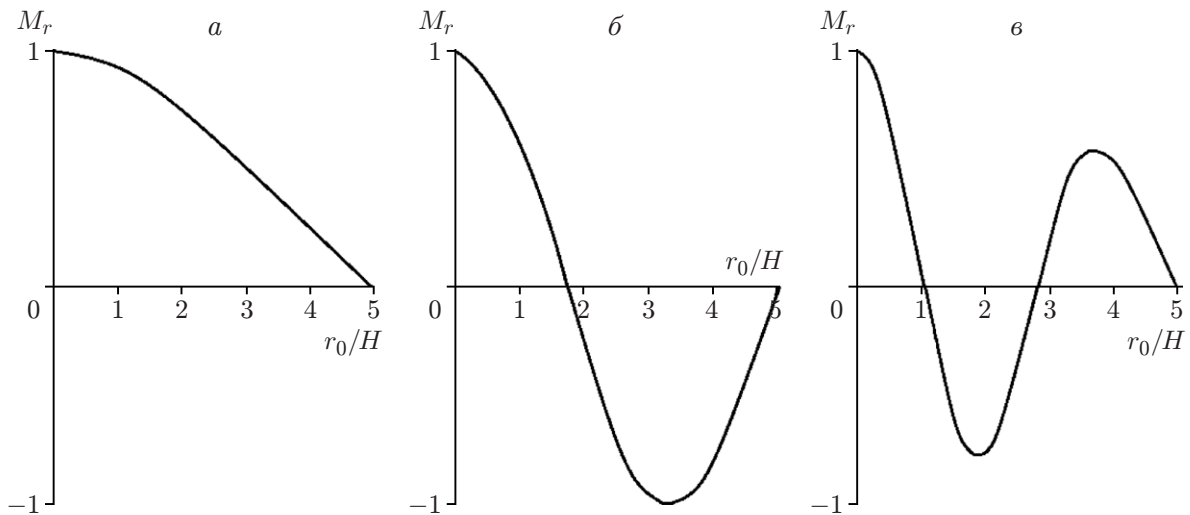


Рис. 3. Распределение изгибающего момента по радиусу пластины для мод с различными индексами:

$a$  —  $s = 1$ ,  $n = 0$ ,  $б$  —  $s = 2$ ,  $n = 0$ ,  $в$  —  $s = 3$ ,  $n = 0$

На рис. 4, 5 приведены симметричные формы изгибно-гравитационных колебаний пластины при наличии неоднородности дна.

**Заключение.** Разработана методика численно-аналитических исследований собственных и квазисобственных изгибно-гравитационных колебаний плавающей упругой пластины в бассейнах с осевой симметрией в рамках линейной теории в приближении длинных волн на мелкой воде. Исследованы зависимости собственных частот от размеров бассейна и радиуса пластины. Показано, что собственные частоты уменьшаются при увеличении радиусов бассейна и пластины. В случае если размеры пластины не меняются, при увеличении радиуса бассейна собственные частоты стремятся к собственным частотам плескания ограниченного бассейна. Проведены исследования зависимости собственных частот от геометрических размеров неоднородности дна. Показано, что при увеличении высоты неровности дна собственные частоты уменьшаются. С помощью разработанных численно-аналитических методов исследована зависимость от геометрических параметров задачи собственных и квазисобственных изгибно-гравитационных колебаний для первых мод. Показано, что при увеличении номера решения (гармоники) и номера моды увеличивается количество точек перегиба.



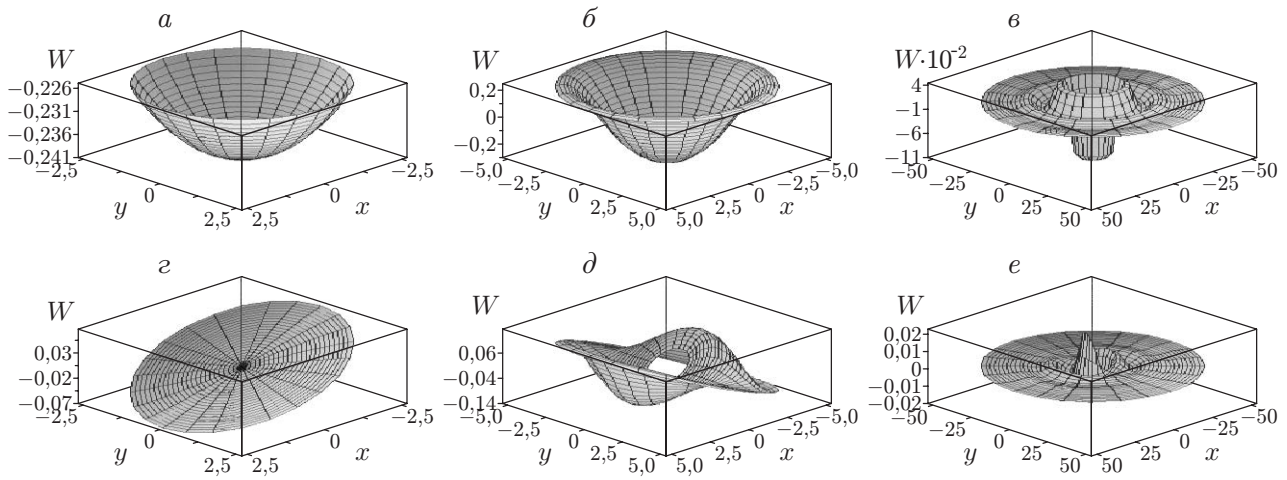


Рис. 4. Симметричные формы изгибно-гравитационных колебаний пластины для случая неоднородности дна первого типа при  $d = h/2$ ,  $l = r_0/2$  и различных значениях квазисобственной частоты и номерах моды:

$a-f$  —  $\omega = 0,8916 - 0,4202i$ ,  $s = 1$ ,  $n = 0$ ;  $g-e$  —  $\omega = 0,7251 - 0,3404i$ ,  $s = 1$ ,  $n = 1$ ;  $a, g$  — область 0,  $b, d$  — область 1,  $в, e$  — область 2

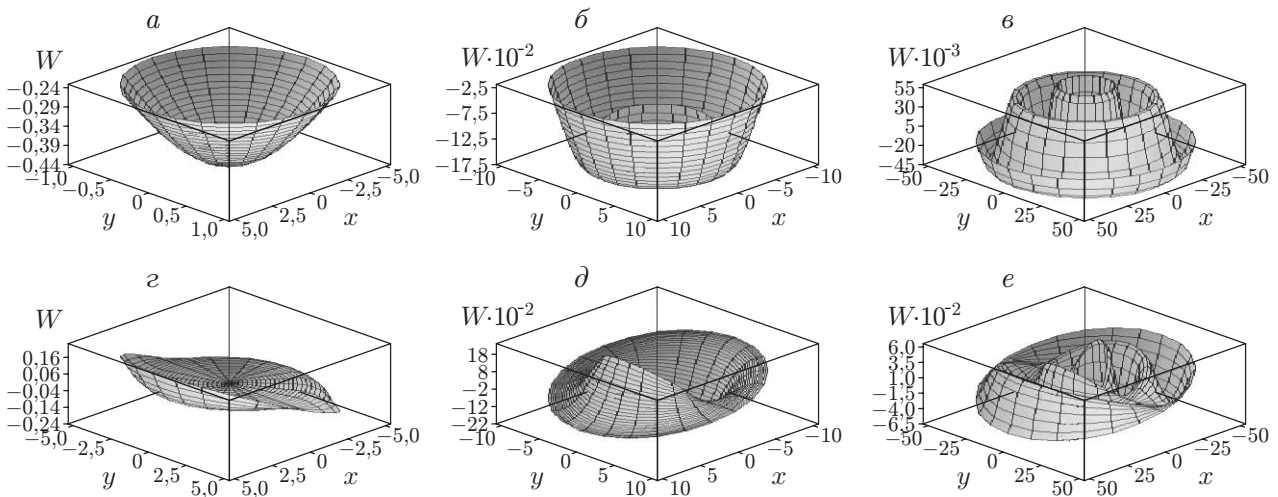


Рис. 5. Симметричные формы изгибно-гравитационных колебаний пластины для случая неоднородности дна второго типа при  $r_0/h = 2,5$ ,  $r_1/h = 5$ ,  $\alpha = 10^\circ$  и различных значениях квазисобственной частоты и номерах моды:

$a-в$  —  $\omega = 0,5237 + 0,3502i$ ,  $s = 1$ ,  $n = 0$ ;  $g-e$  —  $\omega = 0,4704 + 0,2115i$ ,  $s = 1$ ,  $n = 1$ ;  $a, g$  — область 1,  $б, d$  — область 3,  $в, e$  — область 2

Автор выражает благодарность С. В. Сухину, И. В. Стуровой, В. П. Рябченко, Л. А. Ткачевой, В. С. Юрковскому за полезные обсуждения работы.

#### ЛИТЕРАТУРА

1. **Красильников В. Н.** О решении некоторых гранично-контактных задач линейной гидродинамики // Прикл. математика и механика. 1961. Т. 26, вып. 4. С. 764–768.
2. **Красильников В. Н.** О возбуждении изгибно-гравитационных волн // Акуст. журн. 1962. Т. 8, вып. 1. С. 133–136.
3. **Ткачева Л. А.** Собственные колебания упругой платформы, плавающей на мелководье // ПМТФ. 2000. Т. 41, № 1. С. 173–181.
4. **Стурова И. В.** Действие нестационарной внешней нагрузки на упругую круглую пластину, плавающую на мелководье // Прикл. математика и механика. 2003. Т. 67, № 3. С. 453–463.
5. **Хабахпашева Т. И.** Связь гидродинамических и упругих параметров при дифракции поверхностных волн на плавающей пластине // Изв. РАН. Механика жидкости и газа. 2003. № 4. С. 101–110.
6. **Ткачева Л. А.** Воздействие периодической нагрузки на плавающую упругую пластину // Изв. РАН. Механика жидкости и газа. 2005. № 2. С. 132–146.
7. **Коробкин А. А., Хабахпашева Т. И.** Построение точных решений в задаче о плавающей пластине // Прикл. математика и механика. 2007. Т. 71, № 2. С. 321–328.
8. **Стурова И. В.** Влияние топографии дна на нестационарное поведение упругой пластины, плавающей на мелководье // Прикл. математика и механика. 2008. Т. 72, № 4. С. 588–600.
9. **Meylan M. H.** An application of scattering frequencies to hydroelasticity // Intern. J. Offshore Polar Engng. 2001. V. 3. P. 385–391.
10. **Тимошенко С. П.** Пластины и оболочки / С. П. Тимошенко, С. Войновский-Кригер. М.: Либрикон, 2009.
11. **Стокер Дж. Дж.** Волны на воде / Пер. с англ. Под ред. М. А. Лаврентьева, Н. Н. Моисеева. М.: Изд-во иностр. лит., 1959.
12. **Zilman G., Miloh T.** Hydroelastic buoyant circular plate in shallow water: a closed form solution // Appl. Ocean Res. 2000. V. 22. P. 191–198.
13. **Богородский В. В.** Лед. Физические свойства. Современные методы гляциологии / В. В. Богородский, В. П. Гаврилко. Л.: Гидрометеиздат, 1980.
14. **Ламб Г.** Гидродинамика. М.: Гостехтеоретиздат, 1947.
15. **Montiel F.** Numerical and experimental analysis of water wave scattering by floating elastic plates: Ph. D. thesis. Otago: Univ. Otago, 2012.

*Поступила в редакцию 16/V 2014 г.,  
в окончательном варианте — 6/IV 2015 г.*